

基础研究

罗西格列酮对脊髓损伤大鼠神经功能恢复的作用及机制

吴燕峰, 孟庆奇, 梁新军, 叶记超, 唐勇, 黄霖, 杨睿, 王鹏, 沈慧勇

(中山大学孙逸仙纪念医院骨科 510120 广州市)

【摘要】目的:观察罗西格列酮对脊髓损伤(SCI)大鼠后肢运动功能恢复的作用,探讨其作用机制。**方法:**75只成年SD大鼠,应用Allen改良法制作大鼠T10 SCI模型,随机分为A、B、C三组,每组25只,B、C组于损伤后5min、6h、24h腹腔注射罗西格列酮,C组在腹腔注射罗西格列酮前1h给予G3335,A组于相应时间点腹腔注射等体积生理盐水作为对照组。每组取6只大鼠于伤后1d、7d、2w、4w、6w时对后肢运动功能进行BBB评分;伤后3d每组取4只动物脊髓组织行免疫组织化学检测核转录因子κB(nuclear factor kappa-light-chain-enhancer of activated B cells,NF-κB)的表达;伤后1、3、5、7d和2w每组取3只应用Western blot法检测脊髓组织中凋亡相关蛋白caspase-3和Bcl-2的表达。**结果:**伤后1d、7d时3组大鼠BBB评分均为0分,伤后2w开始B组BBB评分高于A组和C组,4w和6w时与A、C组比较有显著性差异($P<0.05$);伤后3d时三组NF-κB表达均为阳性,但B组平均光密度值明显低于A、C组($P<0.05$),B组与C组比较无显著性差异($P>0.05$);伤后各时间点B组caspase-3表达量均低于A组和C组($P<0.05$),而Bcl-2表达均高于A组和C组($P<0.05$),其差异均在伤后5d达到高峰,A组与C组同时间点比较无显著性差异($P>0.05$)。**结论:**罗西格列酮可促进SCI大鼠神经功能恢复,其机制可能与抑制炎症反应及细胞凋亡有关。

【关键词】脊髓损伤;罗西格列酮;细胞凋亡;核转录因子κB;凋亡相关蛋白;大鼠

doi:10.3969/j.issn.1004-406X.2010.11.08

中图分类号:R683.2,R965.1 文献标识码:A 文章编号:1004-406X(2010)-11-0913-05

Effect of rosiglitazone on neurofunction recovery after spinal cord injury in rats/WU Yanfeng, MENG Qingqi, LIANG Xinjun, et al//Chinese Journal of Spine and Spinal Cord, 2010, 20(11):913~917

[Abstract] **Objective:** To investigate the effect and mechanism of rosiglitazone on neurofunction recovery after spinal cord injury(SCI) in rats.**Method:** SCI model at T10 from 75 Sprague Dawley(SD) rats was induced by modified Allen method. All rats were divided into 3 groups: group B($n=25$, rosiglitazone were injected at 5min, 6h, 24h after SCI), group C ($n=25$, rosiglitazone were injected as well as group B and G3335 were injected at 1h before the rosiglitazone were injected), and group A was sham control group ($n=25$, the same dose of normal saline were injected). The BBB scoring system was employed to evaluate the behavioral changes of each group ($n=6$) at 1d, 7d, 2w, 4w, 6w after SCI. The protein expression of nuclear factor kappa-light-chain-enhancer of activated B cells(NF-κB) of each group($n=3$) was observed by immunohistochemistry at 3d after SCI, and the total protein of each group was extracted for detection of expression of caspase-3 and Bcl-2 at 1d, 3d, 5d, 7d, 2w after SCI ($n=3$, each group at every time point).**Result:** The BBB score of each group was 0 at 1d and 7d, while the BBB scores of group B were higher than that of group A and C at 4w after SCI, which showed significant difference between group B and the other two groups at 4w and 6w after SCI ($P<0.05$). The expression of NF-κB protein were positive in every group, but the average optical density(AOD) of NF-κB protein in group B was lower than that of group A and C ($P<0.05$), which showed no significant difference between group A and C ($P>0.05$). The expression of caspase-3 in group B was lower than that of group A and C($P<0.05$), the expression of Bcl-2 in group B was higher than that of the other two groups($P<0.05$), and the difference reached peak at 5d, there were no significant difference between group A and C at

基金项目:广东省产业技术研究与开发资金计划项目(2008B030301326)

第一作者简介:女(1966-),副主任技师,研究方向:脊髓损伤与生物治疗

电话:(020)81332612 E-mail:doctorljx@yahoo.com.cn

each time point. **Conclusion:** Rosiglitazone can promote the neurofunction recovery after spinal cord injury through inhibition of inflammation reaction and process of apoptosis.

[Key words] Spinal cord injury; Rosiglitazone; NF- κ B; Apoptosis; Caspase-3; Bcl-2; Rat

[Author's address] Department of Orthopaedics, Sun-Yat-Sen Memorial Hospital, Sun-Yat-Sen University, Guangzhou, 510120, China

新近研究表明,过氧化物酶增殖体激活受体 γ (peroxisome proliferators-activated receptor-gamma, PPAR- γ)在抑制中枢神经系统损伤、损伤后的炎症反应及细胞凋亡中起着重要作用^[1]。激活PPAR- γ 可调控许多靶基因表达,包括在炎症反应中发挥重要作用的核转录因子 κ B(nuclear factor kappa-light-chain-enhancer of activated B cells, NF- κ B)及与细胞凋亡密切相关的蛋白,如caspase-3和Bcl-2^[2]。在脑缺血再灌注损伤中,PPAR- γ 配体能够显著减少脑组织继发性炎症反应、促进大脑功能的恢复;激活PPAR- γ 可抑制癫痫、帕金森等中枢神经系统退行性疾病中的神经元凋亡^[3,4]。脊髓损伤后(spinal cord injury, SCI)激活PPAR- γ 能否抑制脊髓损伤后的炎症免疫反应,保护残余的神经功能尚未见相关报道。本实验拟通过建立大鼠SCI模型,观察PPAR- γ 配体罗西格列酮对SCI大鼠神经功能恢复的作用,为SCI临床治疗提供新的思路。

1 材料与方法

1.1 实验动物及试剂

成年SD大鼠75只,性别不限,体重220~250g(由中山大学北校区实验动物中心提供)。罗西格列酮购自Cayman公司,PPAR γ 拮抗剂G3335购自Merck公司;NF- κ B一抗购自Sigma公司,羊抗兔二抗试剂盒购自北京中杉金桥生物技术有限公司。兔抗大鼠caspase-3多克隆一抗和兔抗大鼠多克隆Bcl-2一抗购自美国Santa Cruz公司;化学发光试剂盒购自BestBio公司。

1.2 SCI模型的制作与分组

SCI模型在中山大学脊髓损伤研究所完成,手术场所及所用器械均经严格消毒。采用改良Allen法造模:10%水合氯醛腹腔注射麻醉动物后(剂量为3.5ml/kg),暴露T9~T11椎板,将T10椎板全切除,暴露硬膜。固定T9、T11棘突,接通打击器电源,调节打击高度为5cm,选择打击锤重量为10g。打击后大鼠后肢伸直及鼠尾震颤抖动为造模成功标志。造模成功后依次缝合硬脊膜、皮下

组织与皮肤。造模成功的75只SD大鼠随机分为A组:阴性对照组;B组:罗西格列酮组;C组:罗西格列酮加G3335组,每组25只。罗西格列酮注射时间点为损伤后5min、6h、24h,C组每次在给罗西格列酮前1h给予G3335。给药剂量和方法参照Yu等的方法^[5]:腹腔注射,B组罗西格列酮1mg/kg;C组:罗西格列酮1mg/kg+G33351.5mg/kg;A组给予与B组药物等体积的生理盐水。麻醉苏醒后分笼饲养,术后3d应用抗生素(青霉素钠,10000U/100g)。每天两次给予人工排尿、排便。

1.3 后肢运动功能的测试(BBB评分)

每组取6只大鼠,于术后1d、7d、2w、4w、6w观察大鼠后肢运动功能,由熟知BBB评分标准者专门负责评分,不参与实验的其他步骤。非课题组参与者对数据进行统计分析。

1.4 NF- κ B的检测

在SCI后3d时,各组取4只大鼠麻醉,经主动脉灌注后,以脊髓损伤处为中心取上下共1cm长脊髓,4%多聚甲醛固定,横切片,经二甲苯和梯度酒精脱蜡水化后,用含0.1% TritonX-100的磷酸缓冲液(PBS)浸泡冲洗30min,用pH 6.0的枸橼酸盐修复液在微波炉中进行热修复(中档两次沸腾,中间间隔8~10min),3% H₂O₂封闭20min,PBS冲洗5min,共3次,加入一抗(1:100),4℃过夜(12~15h),一抗孵育完毕后,用PBS冲洗5min,共3次,滴加即用型二抗,室温下孵育30min,DAB显色,中性树胶封片,以PBS代替一抗做阴性对照。胞核棕黄色深染为阳性细胞。每张切片随机选取10个不重复400倍视野,利用Image Pro Plus图像分析软件(IPP 6.0)对采集的图像进行阳性细胞平均光密度值(AOD)分析,AOD与NF- κ B表达成正比例关系。

1.5 caspase-3和Bcl-2检测

在造模后1、3、5、7d和2w时各组取3只大鼠,以打击点为中心取长约15mm的脊髓,提取其总蛋白后,采用Western blot法检测caspase-3和Bcl-2表达情况:取50 μ g蛋白质样品进行SDS-

PAGE电泳,转膜后封闭30min,TBST缓冲液漂洗3次后,分别加入相应的兔抗大鼠caspase-3多克隆一抗(1:1000)和兔抗大鼠多克隆Bcl-2一抗(1:1000)孵育,4℃过夜,TBST漂洗3次后加入相应的辣根过氧化物标记的二抗,37℃孵育2h,增强化学发光(ECL)显色,曝光。 β -actin作为内参照。利用IPP 6.0分析各组结果(各组AOD值/内参照AOD值)。

1.6 统计学处理

数据用均数 \pm 标准差表示,各组间行单因素方差分析,应用SPSS 10.0统计软件进行统计学处理。 $P<0.05$ 为差异有显著性。

2 结果

实验过程中非正常死亡大鼠7只,其中正常对照组3只,实验组死亡4只,均按随机条件进行追加。

造模后1d、7d、2w、4w、6w各组大鼠的后肢功能BBB评分见表1。术后2w,B组大鼠后肢有少许功能恢复,A、C两组大鼠后肢功能无恢复;术后4w,B组大鼠后肢功能进一步恢复,A、C组大鼠后肢功能有少许恢复;术后6w各组BBB评分均有所增加,B组从2w开始各个时间点评分均高于A、C组($P<0.05$),A、C两组评分无统计学差异($P>0.05$)。

免疫组化染色显示造模后3d,三组大鼠脊髓组织中都存在NF- κ B表达,表达位于小胶质细胞和星形胶质细胞的胞浆和胞核中(图1~3)。A、C组胞核深染且胶质细胞的胞体均增大,神经纤维

表1 造模后不同时间点各组大鼠后肢功能BBB评分
($\bar{x}\pm s$,n=6)

	A组	B组	C组
1d	0	0	0
7d	0	0	0
2w	0	1.36 \pm 0.53	0
4w	0.47 \pm 0.11	3.50 \pm 0.63 ^①	0.44 \pm 0.12 ^②
6w	1.34 \pm 0.30	6.20 \pm 0.46 ^①	1.41 \pm 0.52 ^②

注:①与A组、C组比较 $P<0.05$,②与A组比较 $P>0.05$

断裂,排列紊乱;B组较A组和C组的着色浅,胞体和胞核的增大较少,神经纤维排列和连续性较好。A组AOD值为 0.26 ± 0.05 ,B组为 0.17 ± 0.04 ,C组为 0.24 ± 0.06 。B组与A、C组比较有统计学意义($P<0.05$);A组与C组比较无统计学意义($P>0.05$)。即B组损伤脊髓组织中NF- κ B表达较B、C组少。

造模后不同时间点三组大鼠损伤部位脊髓组织中caspase-3和Bcl-2蛋白表达见图4、5和表2、3。伤后1d时,三组间比较无统计学差异($P>0.05$)。B组caspase-3的表达从伤后3d起低于A组和C组,5d时其表达最低,7d后逐渐恢复;B组与A组、C组比较从伤后3d起在各个时间点的caspase-3表达量均有统计学差异($P<0.05$),A组和C组比较无统计学差异($P>0.05$)。Bcl-2的表达在B组从伤后3d起高于A组和C组,5d时表达量达到高峰,7d后逐渐恢复;B组与A组、C组比较在伤后3d起各个时间点的Bcl-2的表达量均有差异($P<0.05$),A、C组间无统计学差异($P>0.05$)。

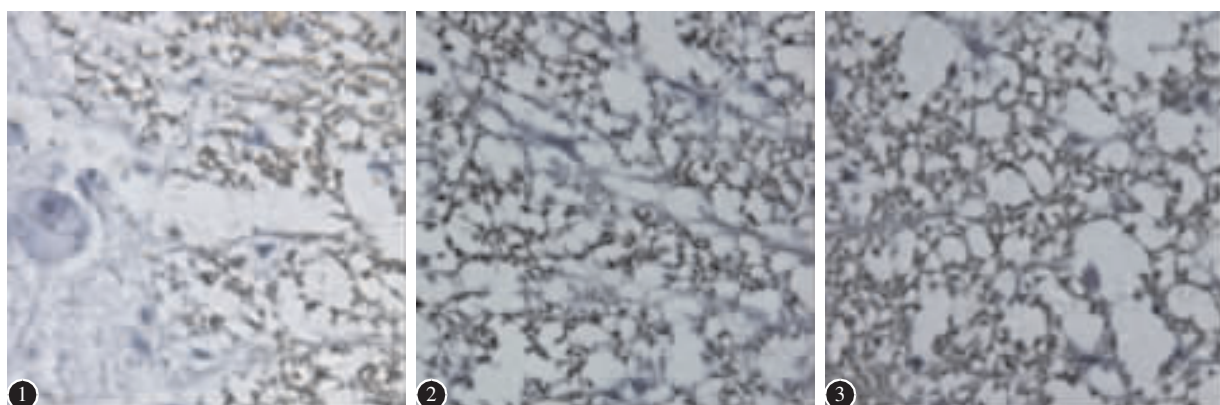


图1 对照组(A组)伤后3d损伤区脊髓白质区可见胞核深染、胞浆浅染的胶质细胞,胞体增大,神经纤维排列紊乱(免疫组化染色 $\times 400$) 图2 罗西格列酮组(B组)伤后3d损伤区脊髓白质中可见胞核深染、胞浆浅染的胶质细胞,胞体无明显增大,神经纤维基本成辐射状排列(免疫组化染色 $\times 400$ 倍) 图3 罗西格列酮+G3335组(C组)伤后3d损伤区脊髓白质中可见胞核深染、胞质稍浅染的胶质细胞,胞体增大,神经纤维排列紊乱(免疫组化染色 $\times 400$)

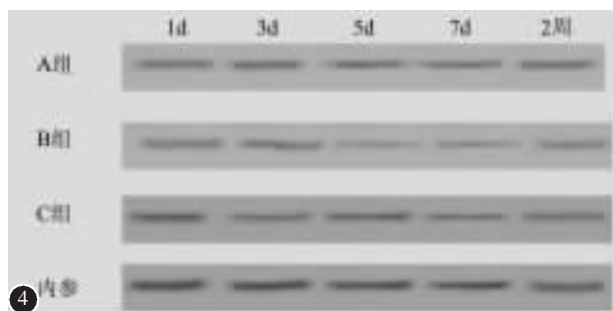


图 4 Western blot 法检测大鼠脊髓损伤后不同时间点损伤脊髓组织 caspase-3 的表达情况

表 2 各组大鼠脊髓损伤后不同时间点损伤脊髓组织中 caspase-3 表达量 ($\bar{x} \pm s, n=3, OD$ 值)

	A组	B组	C组
1d	0.768±0.032	0.752±0.024	0.747±0.039
3d	0.844±0.012	0.643±0.032 ^①	0.868±0.017 ^②
5d	0.857±0.026	0.437±0.039 ^①	0.891±0.042 ^②
7d	0.815±0.037	0.514±0.029 ^①	0.795±0.041 ^②
2w	0.871±0.035	0.603±0.027 ^①	0.819±0.032 ^②

注:①与 A 组、C 组比较 $P<0.05$;②与 A 组比较 $P>0.05$

3 讨论

SCI 是人类致残率最高的疾患之一。SCI 除了损伤本身所引起的原发性损害外, 主要还有由于炎症免疫反应引起的局部微环境的改变、氧自由基的释放等所引起的继发性损害^[6,7]。脊髓继发性损伤可引起残存的少突胶质细胞和神经元凋亡, 从而加重神经损害, 进一步影响神经功能的恢复, 这也是导致脊髓功能丧失的主要原因^[8]。SCI 后少突胶质细胞是最常见的凋亡细胞类型, 也是最易受到微环境变化影响的一类细胞。及时阻断凋亡过程中的 caspase 级联反应, 保护少突胶质细胞和残存的神经元, 对脊髓继发性损伤的治疗有重要意义^[9,10]。

PPARs 分为 PPAR- α 、PPAR- γ 、PPAR- δ 三种亚型, 分别由不同基因编码的配体激活, 在脂质、脂蛋白、糖代谢平衡, 细胞增殖、分化和凋亡, 以及抑制非特异性炎症中起到重要的作用^[11,2]。本研究中我们使用 PPAR- γ 配体罗西格列酮激活 PPAR- γ 信号通路, 并设置激活剂加 PPAR- γ 拮抗剂组和阴性对照组进行对比, 观察其对脊髓损伤的恢复作用。BBB 评分结果显示实验组高于两个对照组, 两个对照组之间无统计学差异, 提示罗西格列酮可促进 SCI 大鼠的后肢功能恢复, 而这

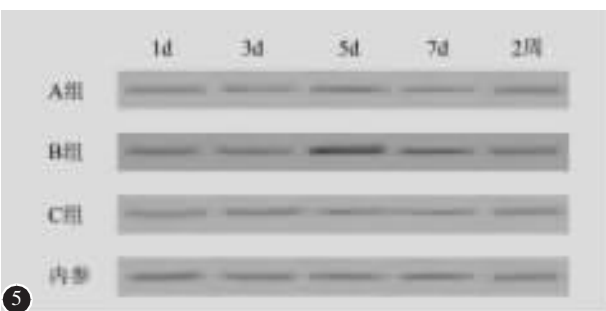


图 5 Western-blot 法检测大鼠脊髓损伤后不同时间点损伤脊髓组织 Bcl-2 的表达情况

表 3 各组大鼠脊髓损伤后不同时间点损伤脊髓组织中 Bcl-2 表达量 ($\bar{x} \pm s, n=3, OD$ 值)

	A组	B组	C组
1d	0.843±0.035	0.818±0.014	0.784±0.028
3d	0.817±0.031	0.957±0.025 ^①	0.790±0.037 ^②
5d	0.908±0.021	1.752±0.014 ^①	0.876±0.029 ^②
7d	0.920±0.042	1.521±0.023 ^①	0.887±0.036 ^②
2w	0.805±0.033	1.033±0.041 ^①	0.812±0.024 ^②

注:①与 A 组、C 组比较 $P<0.05$;②与 A 组比较 $P>0.05$

种作用可以被 PPAR- γ 配体的拮抗剂所阻断。

目前已知 NF- κ B 在炎症的发生和发展中发挥重要作用, 可被一些细胞因子、细菌、病毒颗粒、氧自由基等激活^[11]。激活后无活性的 NF- κ B 由胞质快速转移至核内, 结合到启动子序列 κ B 位点上, 使转录增加, 蛋白质的合成增加。有研究证实, 在神经系统受损后, 破裂的髓鞘碎片可通过 FAK/PI3K/Akt 信号转导途径激活 NF- κ B, 并进一步导致中枢神经系统的炎症反应^[12]。本研究中 NF- κ B 免疫组化染色提示脊髓白质中均有胞核的深染和胞质浅染的胶质细胞, 说明三组在损伤后均有炎症反应的发生, 但 B 组的胶质细胞和神经纤维发生的增粗和排列紊乱的状况要好于 A、C 两个对照组, 胞核的深染程度也较低。通过 AOD 比较, B 组 NF- κ B 表达要低于 A 组、C 组 ($P<0.05$), 而两对照组之间没有统计学差异 ($P>0.05$)。提示大鼠 SCI 后经罗西格列酮的干预可以抑制炎症传导通路中 NF- κ B 的表达, 抑制大鼠 SCI 后的炎症发生, PPAR- γ 拮抗剂可以阻断这种抑制作用。

脊髓继发性损伤中神经细胞的凋亡是神经功能丧失的主要原因。caspase 家族参与细胞凋亡的信号转导过程。有研究证实 caspase-3 与神经干

细胞的凋亡有关，可促进神经干细胞和处在有丝分裂后期的神经元发生凋亡^[13]。Bcl-2蛋白家族分为两大类：一类抗凋亡，一类促细胞死亡。Bcl-2因子可保护细胞在受到外界刺激时免于凋亡。caspase-3 和 Bcl-2 在细胞凋亡调控过程中均发挥着重要作用，其中 caspase-3 在细胞凋亡程序中起到最后枢纽的作用，而 Bcl-2 则在抑制凋亡的过程中起关键作用^[14]。本研究通过 Western blot 法检测罗西格列酮干预后 SCI 局部 caspase-3 和 Bcl-2 的表达，结果发现从伤后 3d 起，B 组 caspase-3 的表达低于 A 组和 C 组，5d 时表达最低，7d 后逐渐恢复；B 组凋亡抑制蛋白 Bcl-2 从 3d 时表达高于 A 组和 C 组，5d 达到高峰，7d 后逐渐恢复。提示罗西格列酮可能通过抑制细胞凋亡而发挥神经保护作用。C 组 caspase-3 和 Bcl-2 的表达与 A 组无统计学差异，可以推断罗西格列酮的作用能被 PPAR-γ 的拮抗剂所抑制。尽管 PPAR-γ 信号通路在 SCI 中所起的确切作用尚不十分清楚，但 PPAR-γ 激活可能通过抑制细胞凋亡和抑制炎症反应促进 SCI 大鼠神经功能的恢复。

4 参考文献

- Kapadia R, Yi JH, Venmuganti R. Mechanisms of anti-inflammatory and neuroprotective actions of PPAR-gamma agonists [J]. Front Biosci, 2008, 13: 1813-1826.
- Chinetti G, Fruchart JC, Staels B. Peroxisome proliferator-activated receptors (PPARs): nuclear receptors at the crossroads between lipid metabolism and inflammation [J]. Inflammation Res, 2000, 49(10): 497-505.
- Schintu N, Frau L, Ibba M, et al. PPAR-gamma-mediated neuroprotection in a chronic mouse model of Parkinson's disease [J]. Eur J Neurosci, 2009, 29(5): 954-963.
- Hunter RL, Choi DY, Ross SA, et al. Protective properties afforded by pioglitazone against intrastriatal LPS in Sprague-Dawley rats [J]. Neurosci Lett, 2008, 432(3): 198-201.
- Yu X. Activation of cerebral peroxisome proliferator-activated receptors gamma exerts neuroprotection by inhibiting oxidative stress following pilocarpine-induced status epilepticus [J]. Brain Res, 2008, 47(1): 146-159.
- Guimaraes JS, Freire MA, Lima RR, et al. Mechanisms of secondary degeneration in the central nervous system during acute neural disorders and white matter damage [J]. Rev Neurol, 2009, 48(6): 304-310.
- Alexander JK, Popovich PG. Neuroinflammation in spinal cord injury: therapeutic targets for neuroprotection and regeneration [J]. Prog Brain Res, 2009, 175(8): 125-137.
- Wu B, Ren X. Promoting axonal myelination for improving neurological recovery in spinal cord injury [J]. J Neurotrauma, 2009, 26(10): 1847-1856.
- Ambrozaitis KV, Kontautas E, Spakauskas B, et al. Pathophysiology of acute spinal cord injury [J]. Medicina (Kaunas), 2006, 42(3): 255-261.
- Casha S, Yu W, Fehlings MG. Oligodendroglial apoptosis occurs along degenerating axons and is associated with FAS and p75 expression following spinal cord injury in the rat [J]. Neuroscience, 2001, 103(1): 203-218.
- Chen F, Castranova V, Shi XL, et al. New insights into the role of nuclear factor-kappa B, a ubiquitous transcription factor in the initiation of diseases [J]. Clin Chemistry, 1999, 45(1): 7-17.
- Sun X, Wang X, Chen TX, et al. Myelin activates FAK/Akt/NF-kappa B pathways and provokes CR3-dependent inflammatory response in murine system [J]. Plos One, 2010, 5(2): 1-15.
- Eldadah BA, Faden AI. Caspase pathways, neuronal apoptosis, and CNS injury [J]. J Neurotrauma, 2000, 17(10): 811-829.
- Springer JE, Azbill RD, Nottingham SA, et al. Calcineurin-mediated BAD dephosphorylation activates the caspase-3 apoptotic cascade in traumatic spinal cord injury [J]. J Neuroscience, 2000, 20(19): 7246-7251.

(收稿日期:2010-06-22 修回日期:2010-09-01)

(英文编审 蒋 欣/刘思麒)

(本文编辑 卢庆霞)

消息

欢迎订阅《中国脊柱脊髓杂志》合订本

《中国脊柱脊髓杂志》2006~2010 年合订本均为精装本（上、下册），2006 年定价 180 元/套，2007~2009 年定价 200 元/套，2010 年上半年定价 110 元/册，有需要者请与本刊经理部联系。

联系地址：北京市朝阳区中日友好医院内《中国脊柱脊髓杂志》经理部，邮编：100029。联系电话：(010)64206649, 64284923。E-mail 地址：cspine@263.net.cn。

汇款时请在汇款单上注明所需物品及数量。